

A large, jagged iceberg floats in the center of the frame, its surface textured with various ice formations. The water is a deep, dark blue, and the sky is filled with heavy, grey clouds. In the foreground, a smaller, more rounded piece of ice floats on the water's surface. The overall scene is somber and atmospheric.

# **INTRODUÇÃO À CEFALOMETRIA**

# Cefalometria

The background of the slide is a photograph of several large icebergs floating in a dark blue sea under a cloudy, overcast sky. The icebergs are white and blue, with jagged, irregular shapes. The water is calm, reflecting the light from the sky.

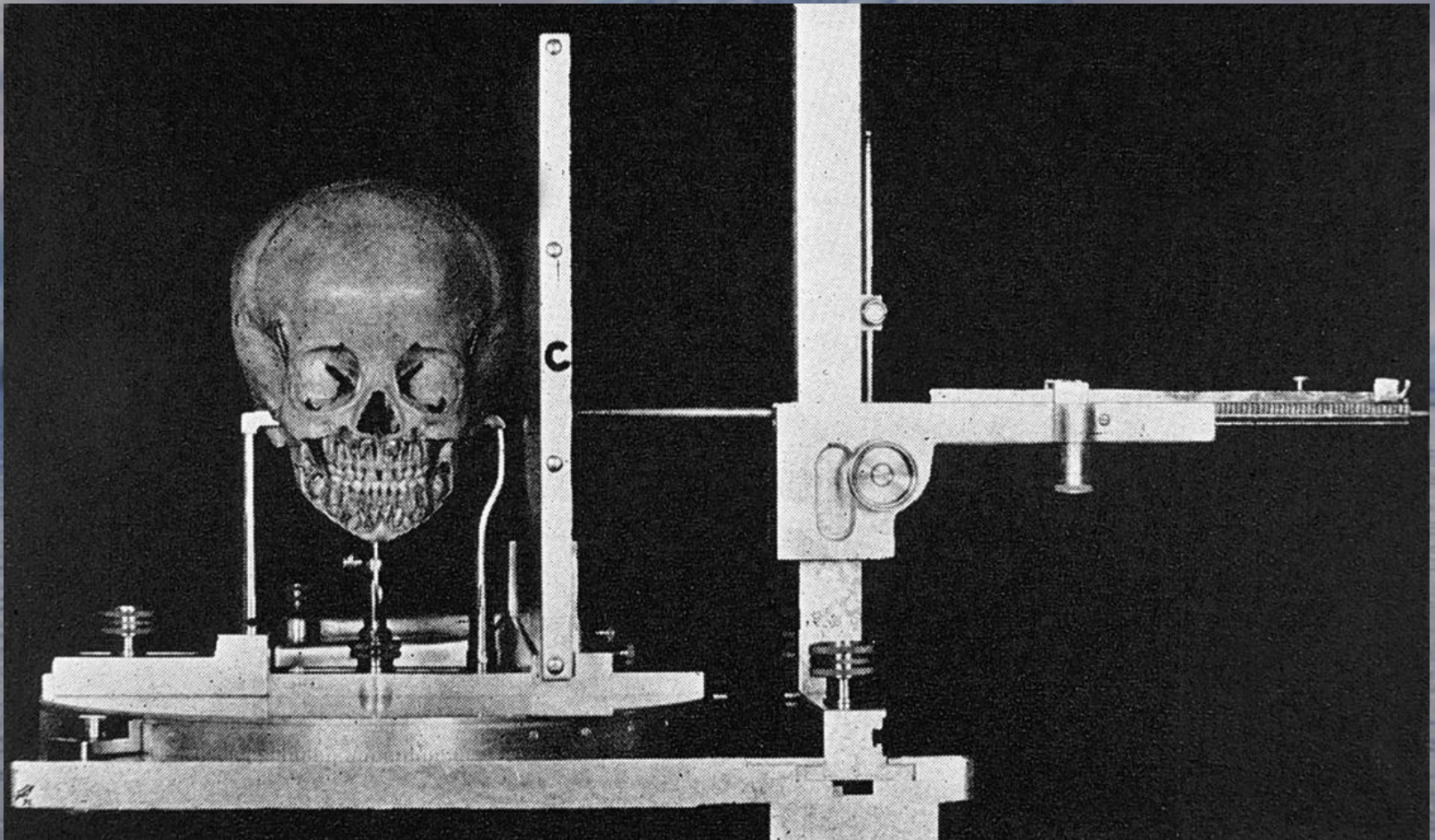
- **Fase Empírica (Antropologia)**
- **Fase Científica (1931)**
  - **Broadbent – USA**
  - **Hofrath – Alemanha**

# Cefalometria radiográfica

Origem



Craniometria

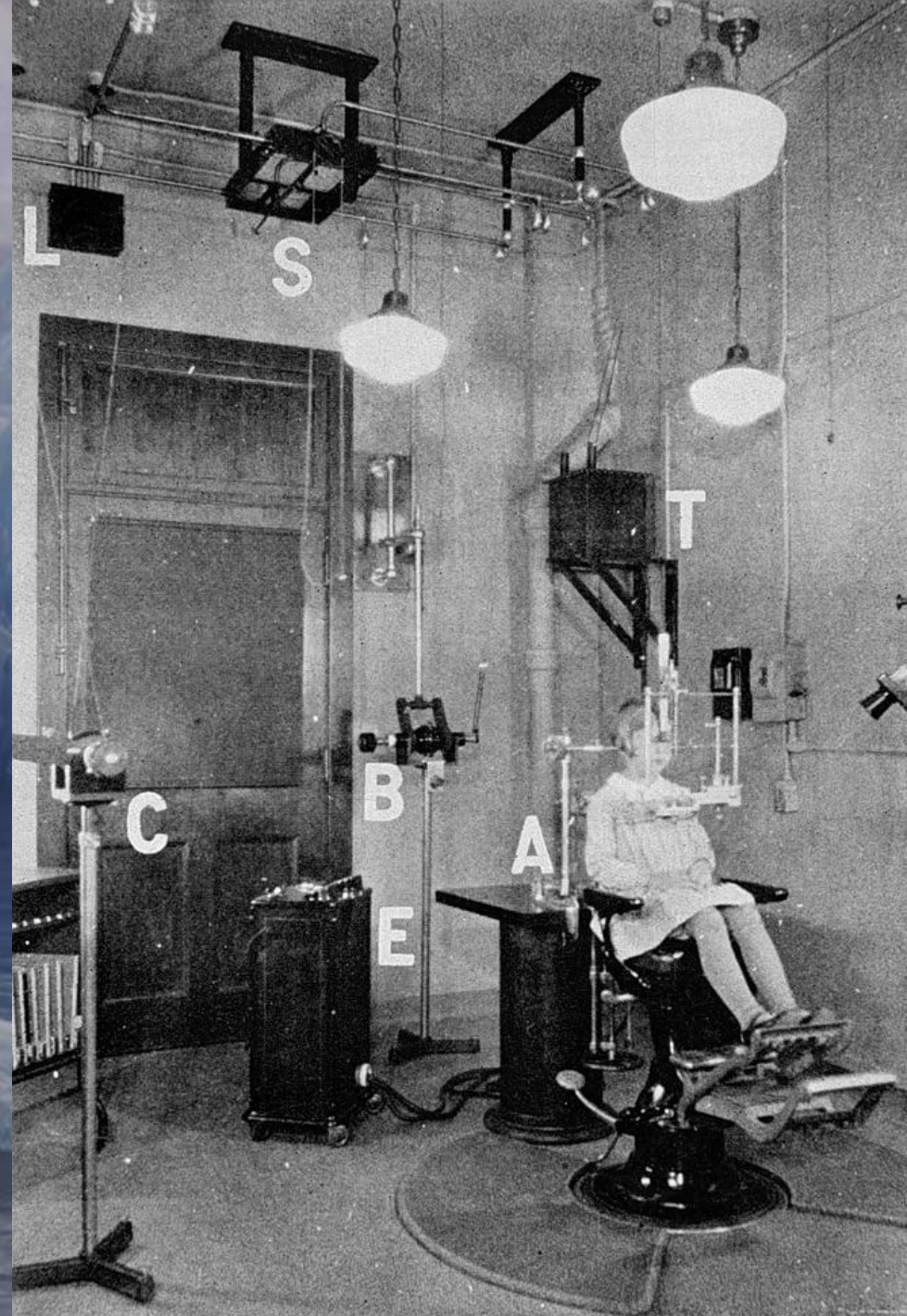


# Cefalostato

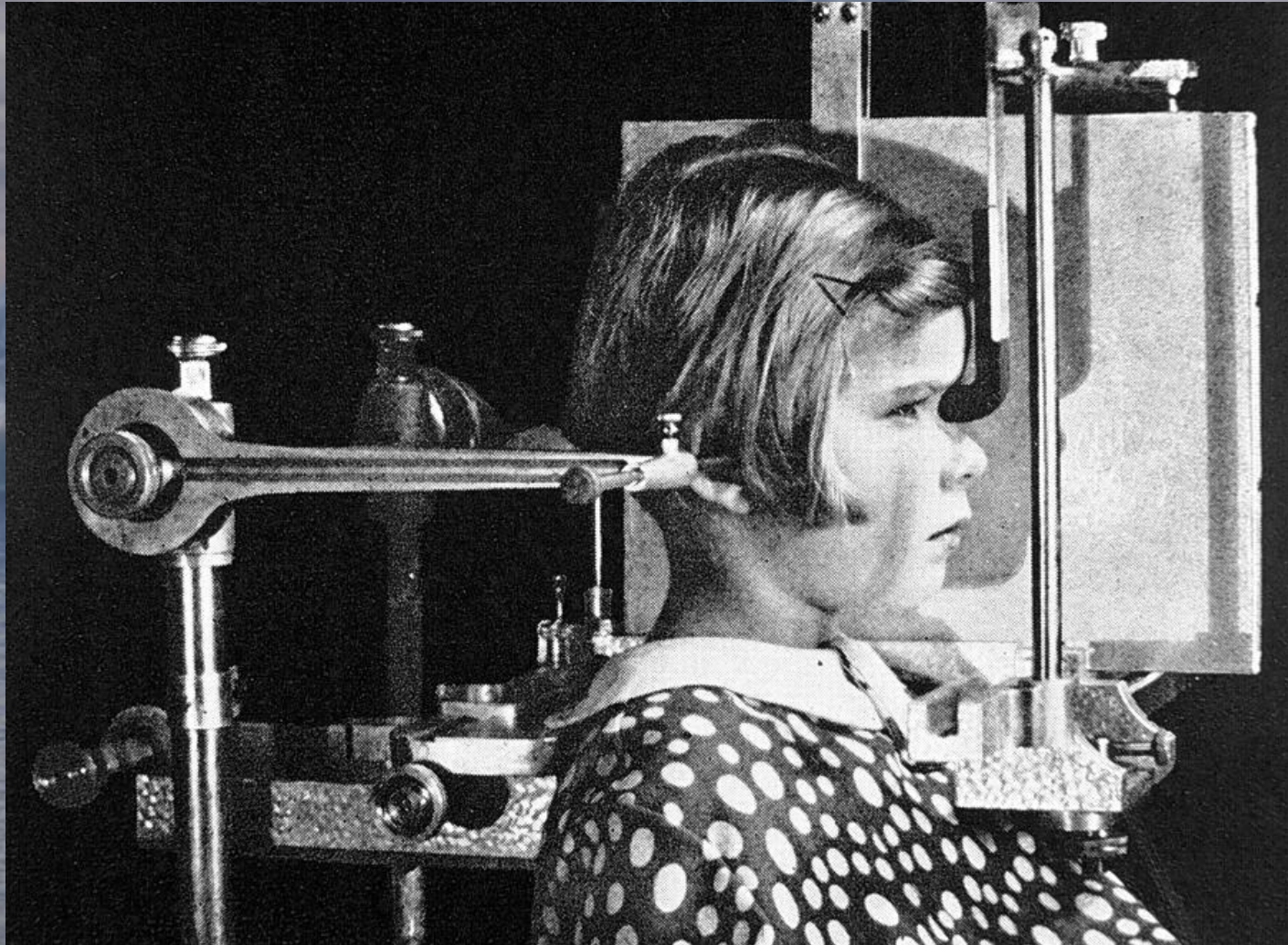
Broadbent

Hofrath

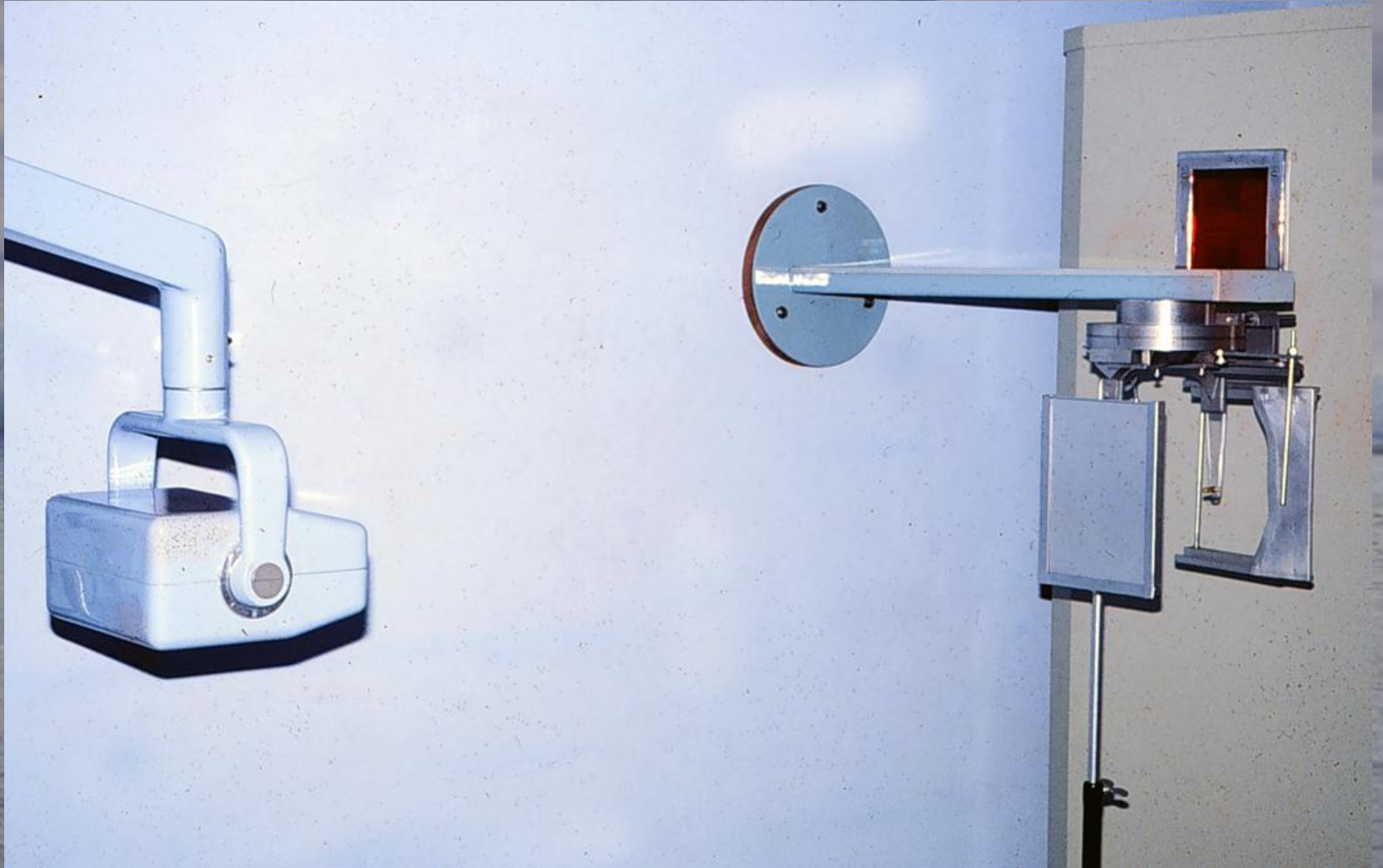
(1931)



# Cefalostato



# Cefalostato



# Cefalostato



# Posição da cabeça do paciente

- Posicionadores auriculares – conduto auditivo externo
- Indicador nasal – altura do Nasio

## Orientações ao paciente

- manter os dentes em OC
- lábios em repouso
- não deglutir ou respirar



# Posição da cabeça do paciente



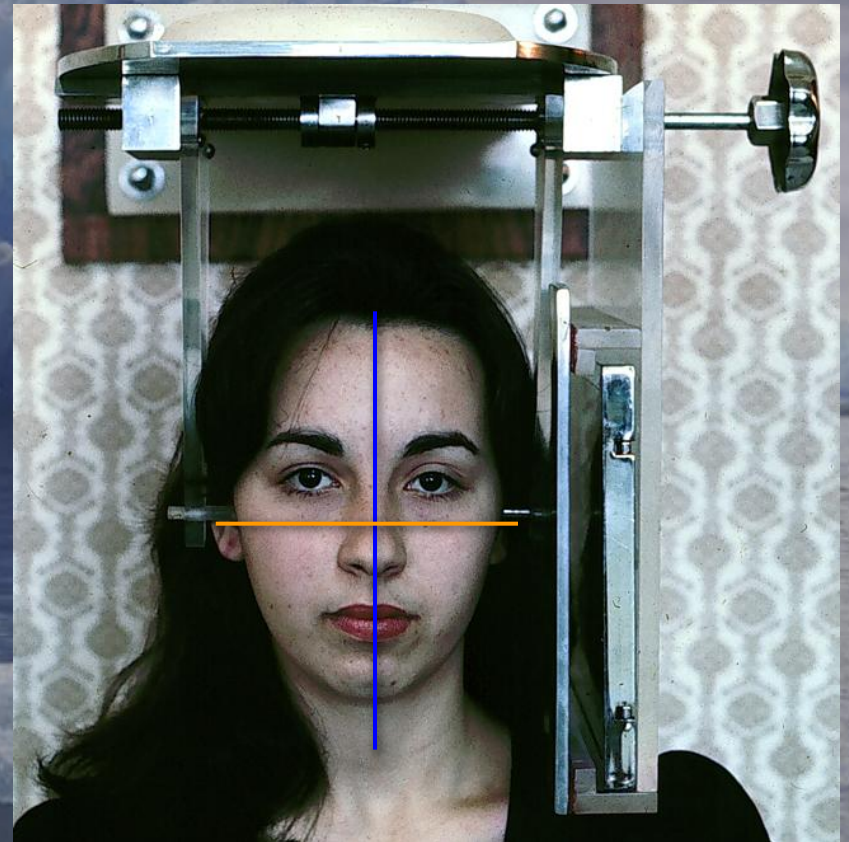
# Posição da cabeça do paciente

## Plano Sagital Mediano

- paralelo ao filme
- perpendicular ao feixe de raios-X

## Plano Horizontal de Frankfort

- paralelo ao solo



# Distância objeto - filme

Fator de nitidez  
e distorção

plano sagital mediano

ao filme

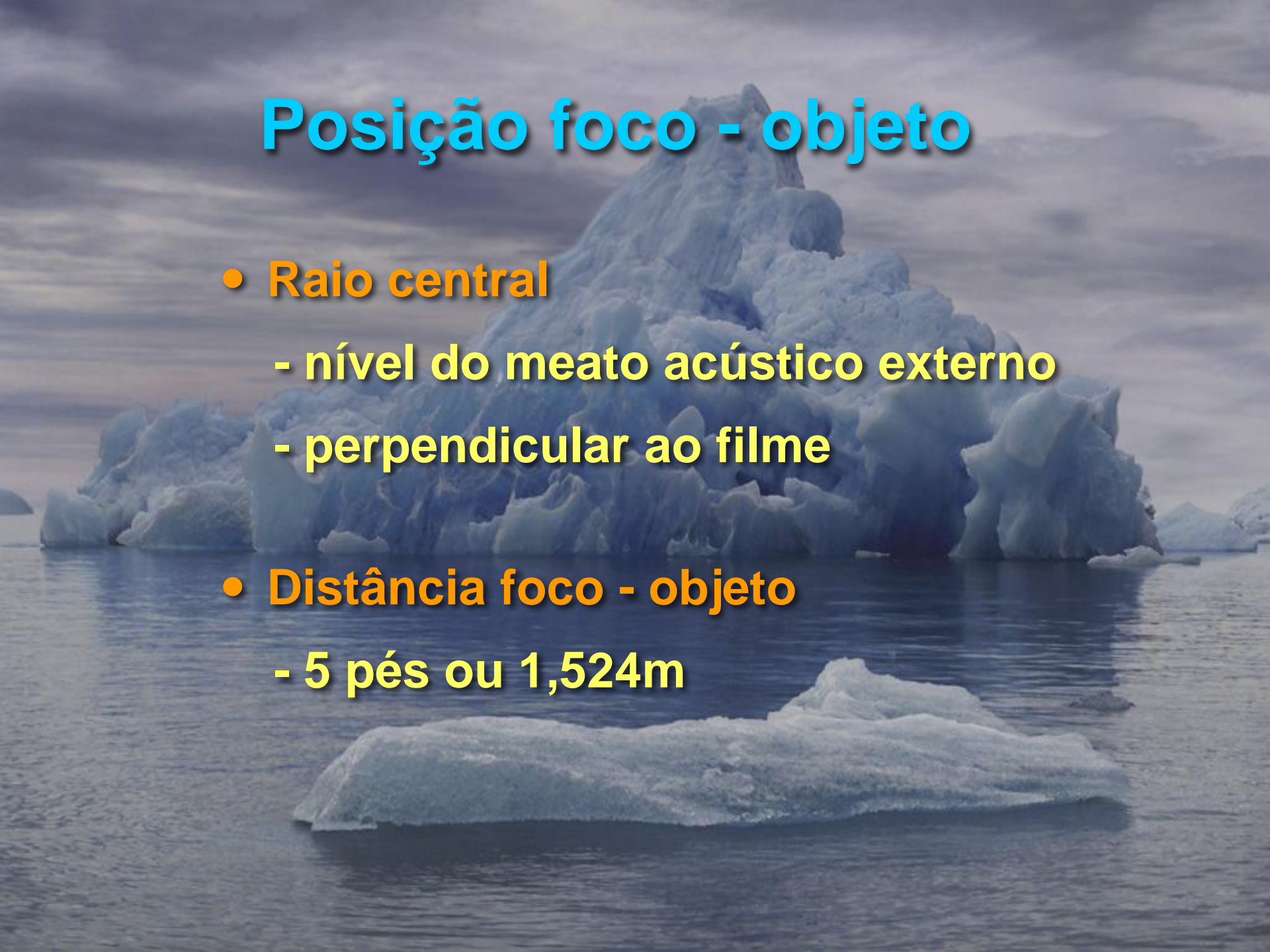
9 a 13 cm

Ampliação 6 a 8,5%



# Posição foco - objeto

- **Raio central**
  - nível do meato acústico externo
  - perpendicular ao filme
- **Distância foco - objeto**
  - 5 pés ou 1,524m

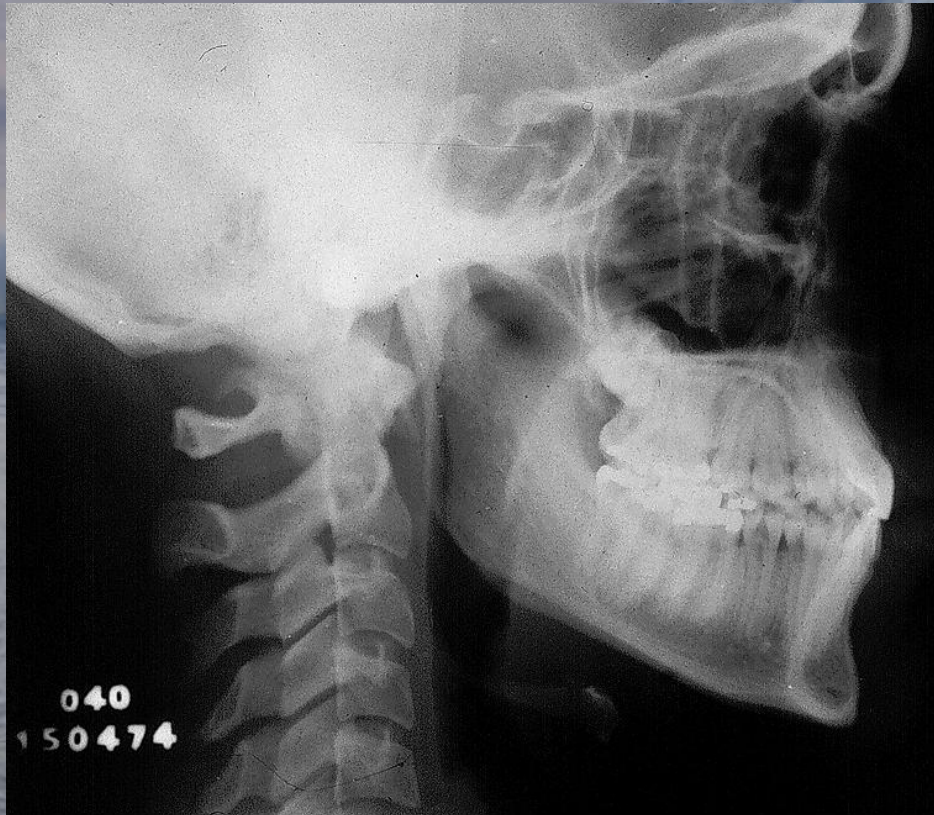


# Relação entre mA, KVp e tempo de exposição

- **Miliamperagem: 50 – 100 mA**
  - determina a densidade da radiografia
  - fator perigoso da radiação
- **Quilovoltagem: 80 – 96 KVp**
  - determina o contraste entre os tecidos duros e moles
- **Tempo de exposição**
  - ecran (20 vezes)

# Relação mA - KVp

Determinante da força de penetração dos raios X





# Tomografias Cone Beam

## Extrabucais



**Radiografia panorâmica**



**Cefalométrica Lateral**



# Tomografias Cone Beam

## Extrabucais

### Telerradiografias Pósterio-anteriores



# Tomografias Cone Beam

## Extrabucais

### Radiografia de ATM



# Tomografias Cone Beam

## Intrabucais

Radiografia Periapical



Radiografia Interproximal



# Tomografias Cone Beam

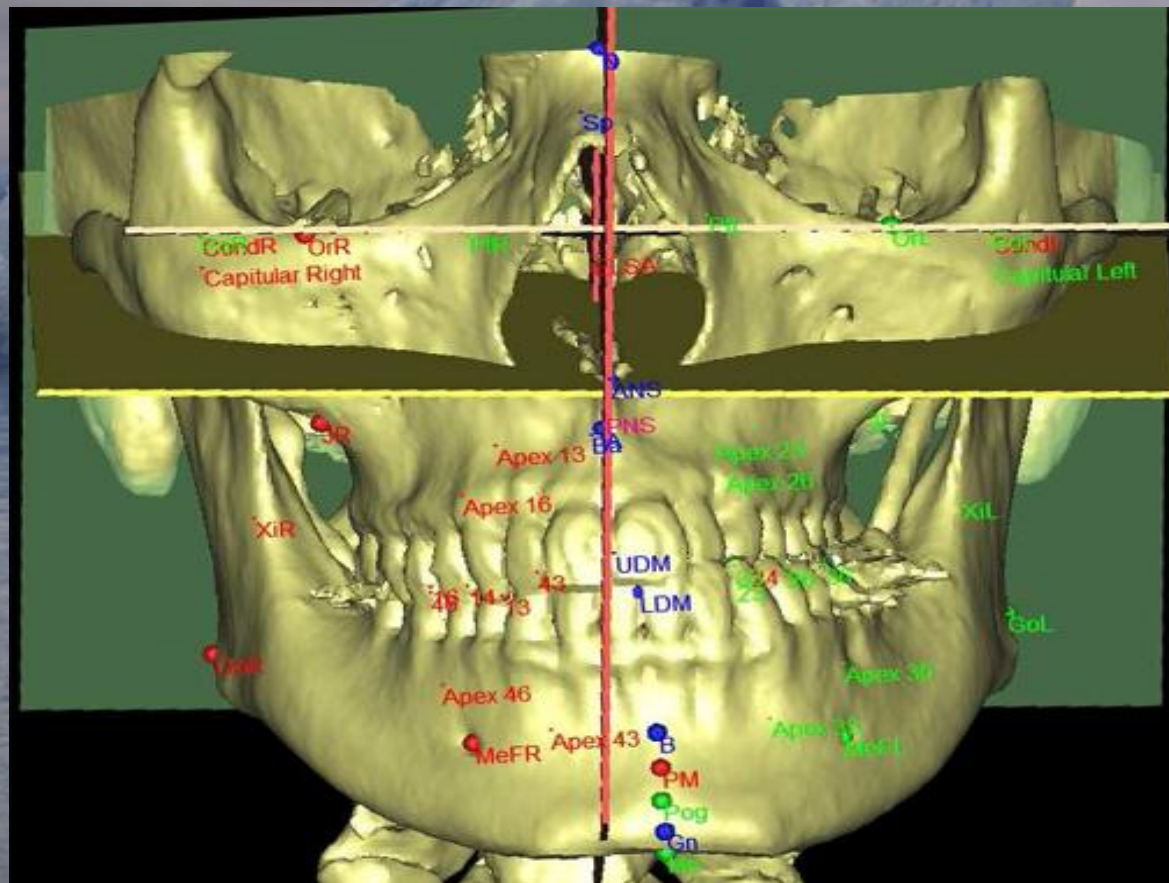
Intrabucais

Radiografia Oclusal



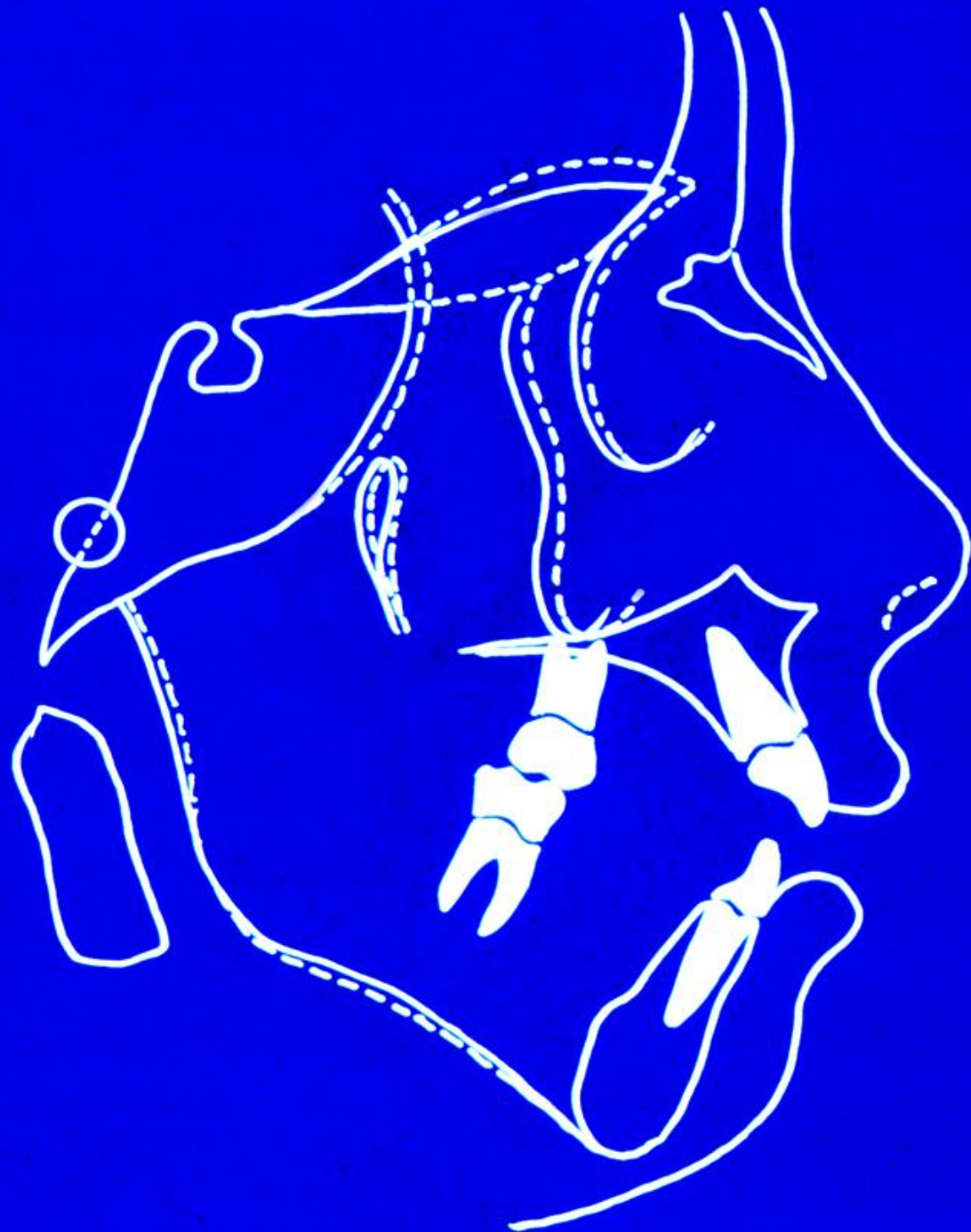
# Tomografias Cone Beam

## Cefalometria 3D

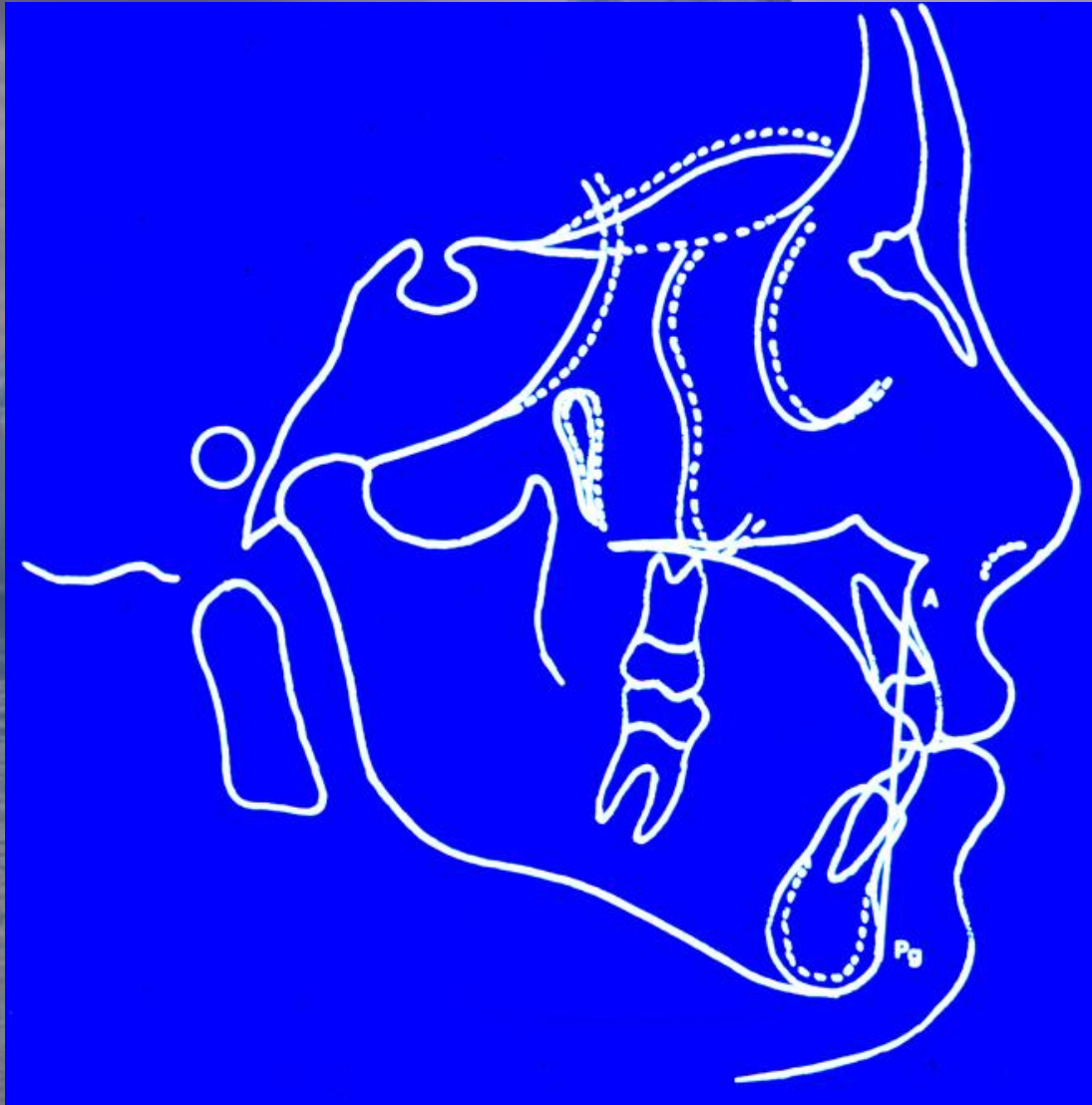


# Traçado Cefalométrico

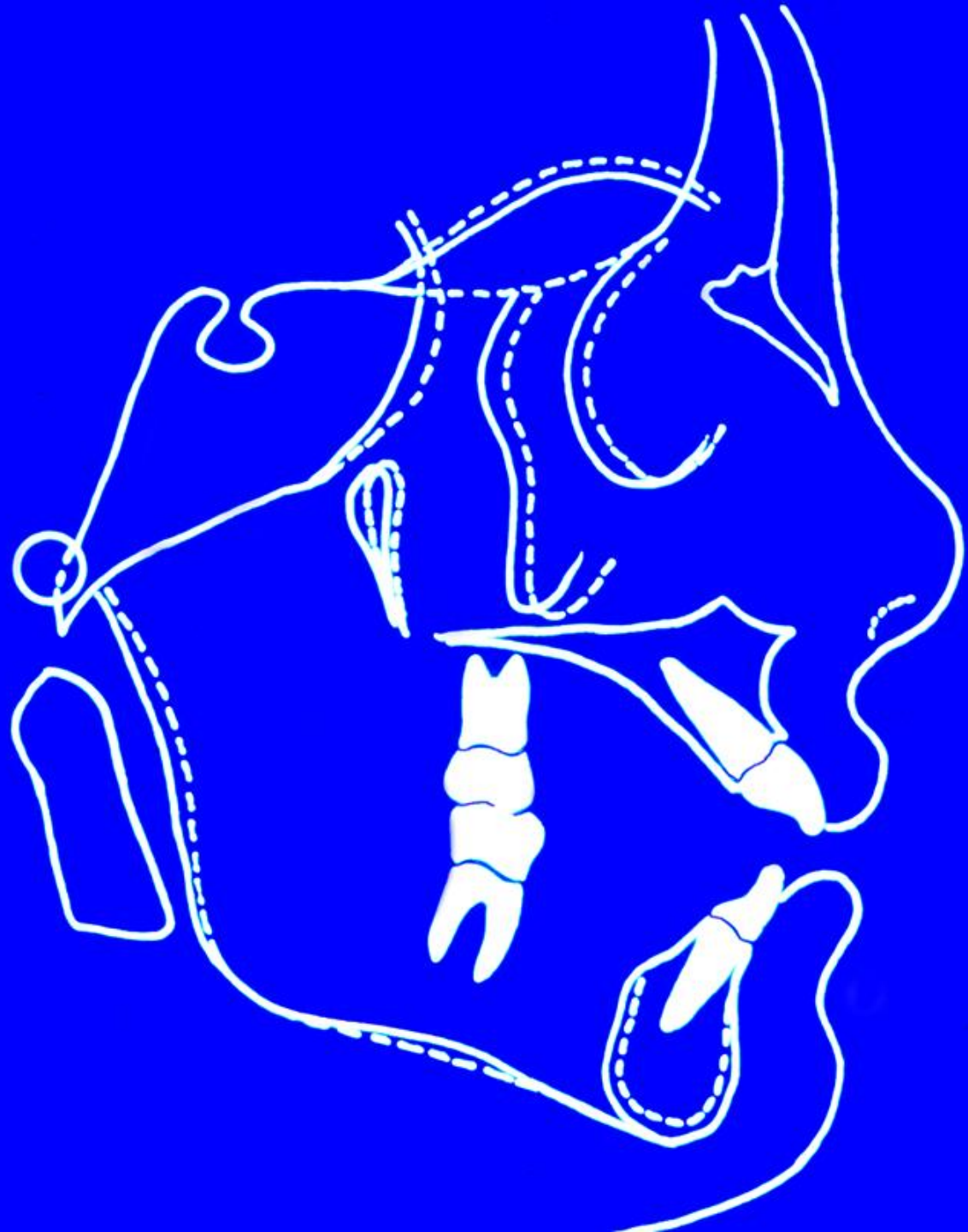
Manual ou Computadorizado



# Traçado Cefalométrico



# Traçado Cefalométrico





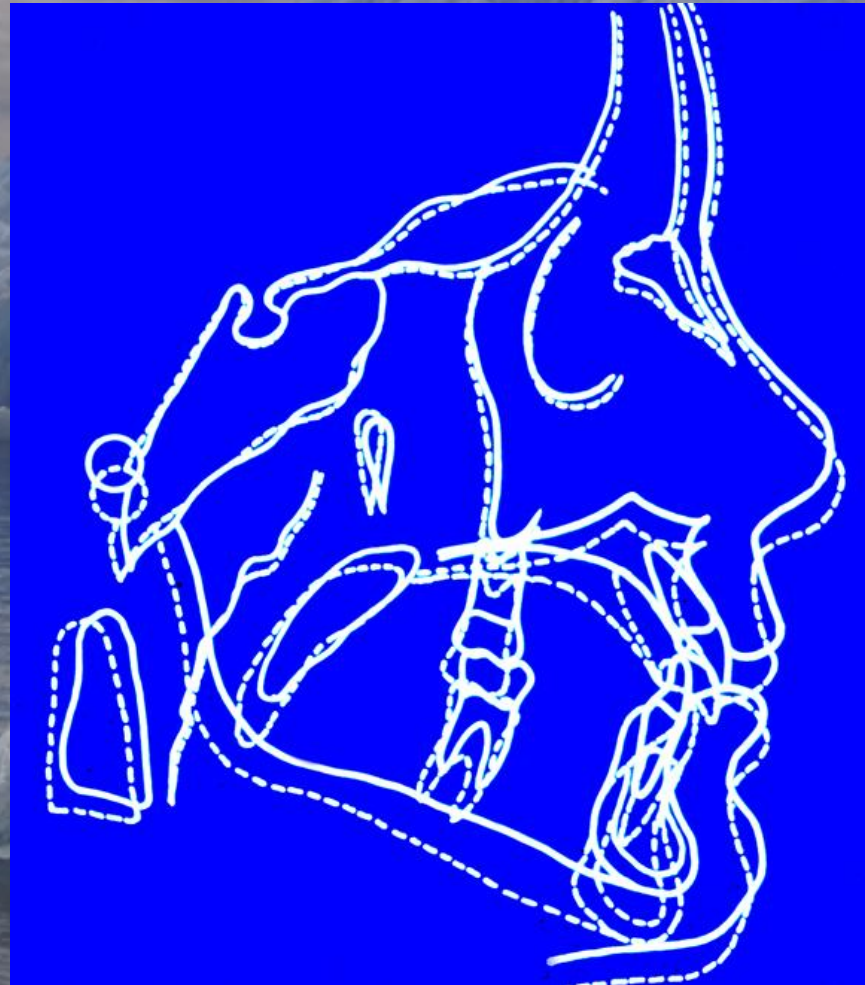
# Aplicações da cefalometria

## Estudo do crescimento crânio-facial



# Aplicações da cefalometria

## Estudo do crescimento crânio-facial



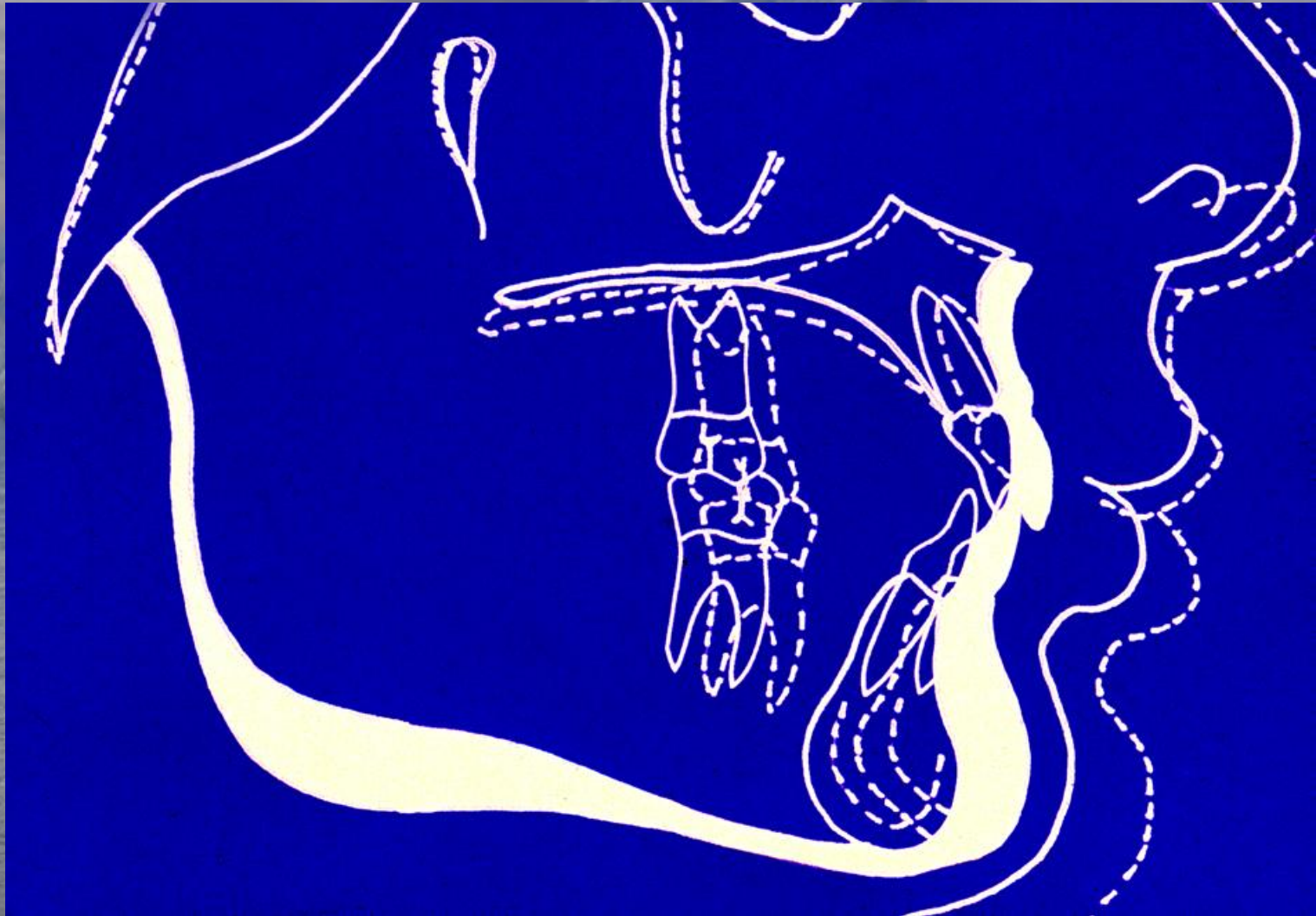
# Aplicações da cefalometria

## Estudo do crescimento crânio-facial



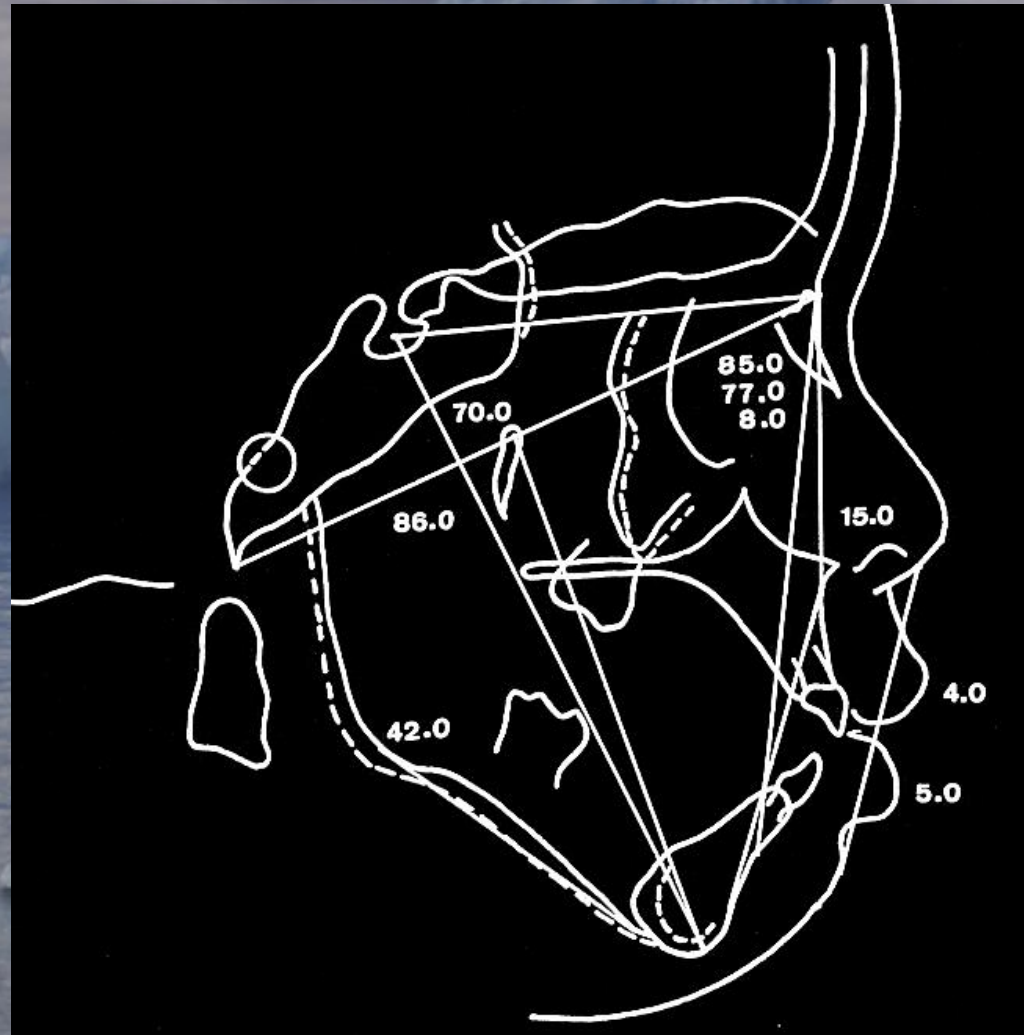
# Aplicações da cefalometria

## Estudo do crescimento crânio-facial



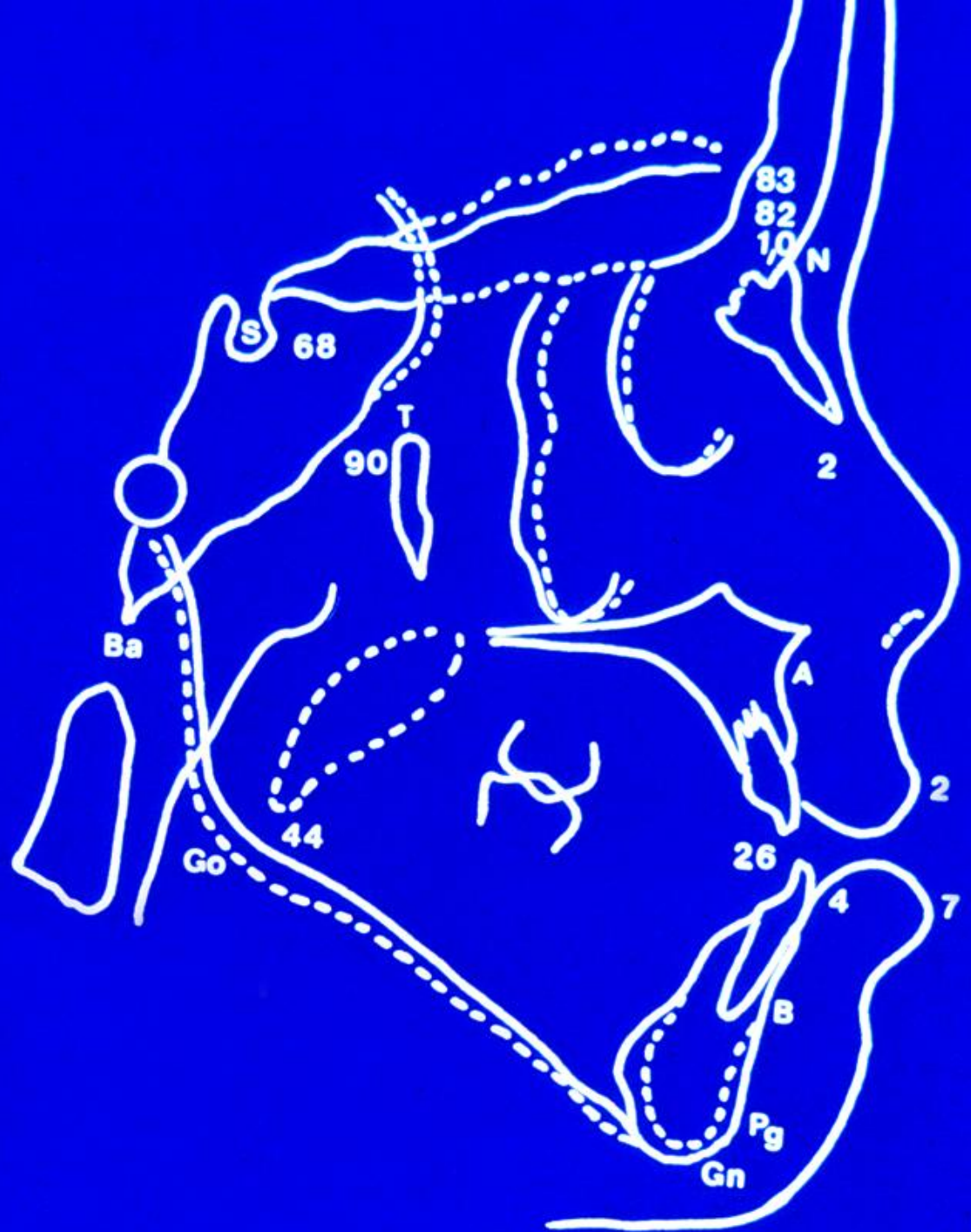
# Aplicações da cefalometria

## Diagnóstico e planejamento do tratamento



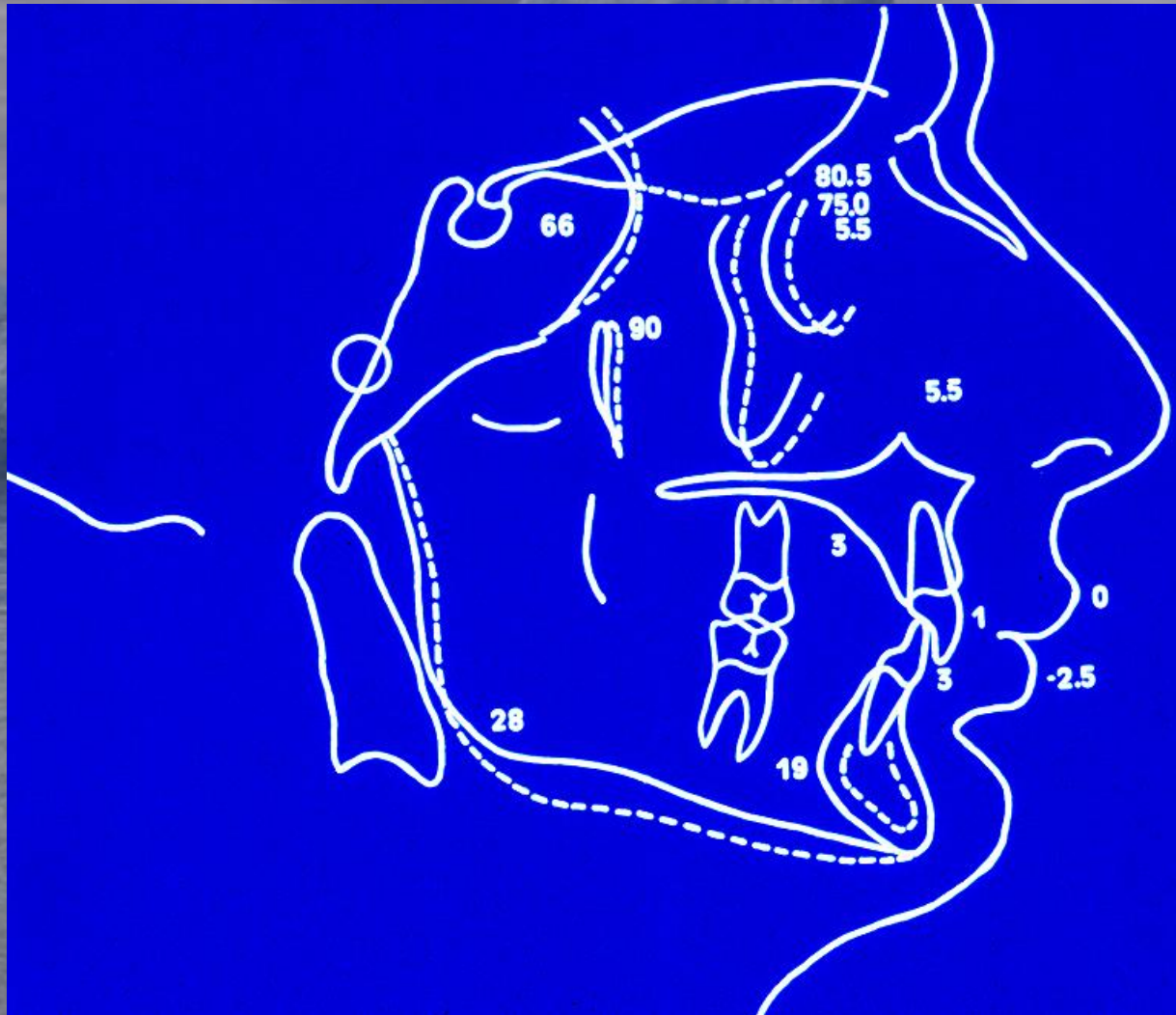
# Aplicações da cefalometria

Diagnóstico e  
Planejamento  
do Tratamento



# Aplicações da cefalometria

## Diagnóstico e planejamento do tratamento



# Aplicações da cefalometria

## Avaliação do espaço naso-faríngeo





# **Aplicações da cefalometria**

**Diagnóstico das  
assimetrias  
esqueléticas  
através das  
radiografias  
póstero-anteriores**



# Aplicações da cefalometria

## Avaliação dos resultados pós-tratamento

